

## I-50 2主並列桁の全体横倒れ座屈におよぼす横桁の強度および剛度の影響

金沢工業大学 正員〇西田 進

## 1・まえがき

側道橋などの2主並列桁橋は、幅員が2-3mと狭くスパン/主桁間隔比( $L/B$ )の大きなスレンダーな構造となり、床版コンクリートの硬化する前は座屈崩壊の危険性が大きく、全体横倒れ座屈に対する照査が必要になる。2主並列桁の横倒れ崩壊に対する安全性を正しく評価するために2主並列桁橋モデルの全体横倒れ座屈実験を行ない報告したが、それに加えて剛性及び強度の異なる横桁を配置した2主並列桁橋モデルの全体横倒れ座屈実験を行なった。両者の実験結果を用いて補剛システムとしての横桁の必要剛度と所要強度を明確にするとともに、2主並列桁の全体横倒れ座屈に対する簡単な照査式を提案する。

## 2・2主並列桁橋モデルの全体横倒れ座屈実験

試験桁には圧延I形鋼(I-100x50x5x7mm)を使用し、2主並列桁の実験を行なった。実験は試験桁の初期変形を測定した後、骨組内にセットし、載荷装置を用いて圧縮フランジ上に2点集中荷重を作成させて行なう。荷重は理論座屈荷重または面外変形が急激に大きくなるまで100-200kgずつ増加させて桁の変位およびひずみを測定し、その後は荷重増分を細かくし、不安定状態になると変位制御により座屈後の測定を行なう。

図-1は2主並列桁橋モデルの初期鉛直変位 $V_0$ 、初期水平変位 $U_0$ および初期ねじり角 $\Phi_0$ の度数分布とその平均値 $\mu$ および標準偏差 $\sigma$ の値を示す。実験に使用した供試体は図に示すように全て道路橋示方書の許容値1/1000以下の範囲に入っている。その平均値は許容値の約1/5である。

## 3・横桁の強度および剛度配置

図-2は2主並列桁橋モデルの横桁配置図を示す。全体横倒れ座屈実験は文献1)の19体に加えて、同一寸法で横桁強度を変えた供試体(SS41→SNCM439)4体、近似座屈解析による横桁の適正配置に対応するケースD2体、補剛力から考えた横桁の適正配置に対応するケースE2体および補足実験4体計12体を行なった。

図-3は実験耐荷力/固定点間座屈強度とスパン長/主桁間隔比の関係を示し、図中の $\psi=0.84$ はギャランボスの提案する強度のバラツキを考慮した抵抗係数を表わす。図より $L/B$ が1.8以下の場合、2主並列桁の強度は固定点間座屈強度を下回らないことがわかる。このことより、設計時に、 $L/B \leq 1.8$ では固定点間座屈に対して、 $L/B > 1.8$ では全体座屈に対して検討すればよいということがわかる。

図-4は横桁の材質を軟鋼から工具用鋼に変えた場合の全体横倒れ座屈強度の向上を示す。横桁に軟鋼を用いたケースは2主並列桁の座屈前に、初期不整により横桁に補剛モーメントが発生し、その値が横桁の抵抗モーメントを越える場合に対応する。

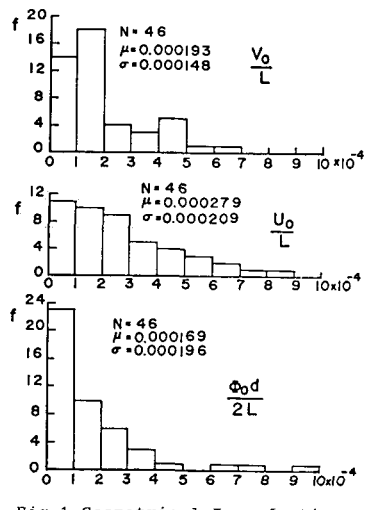


Fig.1 Geometrical Imperfections

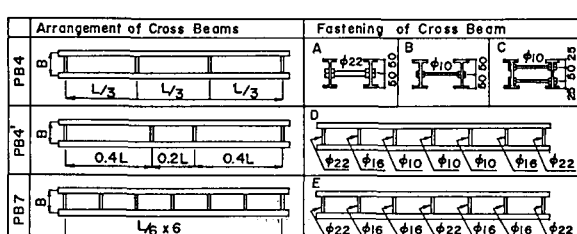


Fig.2 Arrangements of Cross Beams

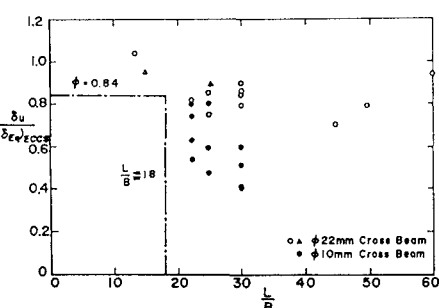


Fig.3 Limit L/B Ratio for Equivalent Strength

図-5は横桁の強度および剛度配置の組み合わせのみを変えた2主並列桁(PB7-600/20)の耐荷力を表わす。ケースA, Bは横桁に同一の丸鋼を使用した場合を、ケースDは座屈解析から考えた適正配置に、ケースEは耐荷力解析から考えた適正配置に対応する。中央横桁と端横桁の強度を中間横桁の強度より大きくする現行設計法は、図より、2主並列桁の全体横倒れ座屈に対しても適正な配置といえる。

#### 4・2 主並列桁橋の全体横倒れ座屈照査式の提案

図-6は実験耐荷力 $P_u/P_p$ と正規化した固定点間距離 $\lambda_{Eq}$ の関係を、図-7は $\lambda_{Eq}$ と横桁の変形の影響を考慮した全体横倒れ座屈強度で正規化した2主並列桁のスパン長との小さい方の値と実験耐荷力の関係を示す。なお、全体横倒れ座屈強度は荷重の載荷位置を考慮した次の式を用いて評価する。

$$\mu_E = C \frac{\pi^2 EI_y G}{L^2} \{ 0.55g + \sqrt{(0.55g)^2 + \frac{I_x B^2}{2 I_y G} (1 + \frac{4 G K_T L^2}{E I_x B^2 \pi^2})} \} \quad (1)$$

$$I_y G = \frac{2 I_y + AB^2}{2(1+\beta_1)}, \quad \beta_1 = \frac{\pi^2 AB^3}{48 L \sum I_y c \cos^2 \pi z_i / L} \quad (2,3)$$

図-6と7の比較より、正規化した細長比として MAX $(\lambda_{Eq}, \lambda_{all})$  を用いて評価すると2主並列桁の強度をより良く推定できることがわかる。

図-3および7より、2主並列桁の強度式として次式を提案する。

固定点間座屈が卓越する場合 ( $L/B \leq 1.8$ )

$$M_R = \delta_{Eq} M_p \quad (4)$$

全体座屈が卓越する場合 ( $L/B > 1.8$ )

$$M_R = \min(\delta_{Eq}, \delta_{all}) M_p \quad (5)$$

ただし、端横桁の弱軸回りの抵抗モーメントは主桁最大曲げモーメントの2%を確保するものとする。

#### 参考文献

西田進、福本秀士：2主並列桁（側道橋）の補剛設計法に関する基礎的研究、土木学会論文集、第374号、1986年10月、pp. 329-337。

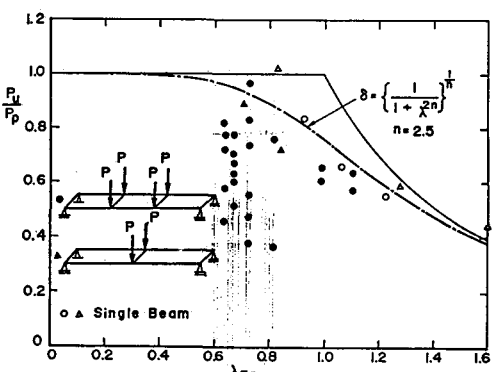


Fig. 6 Zero Interaction Buckling Strength

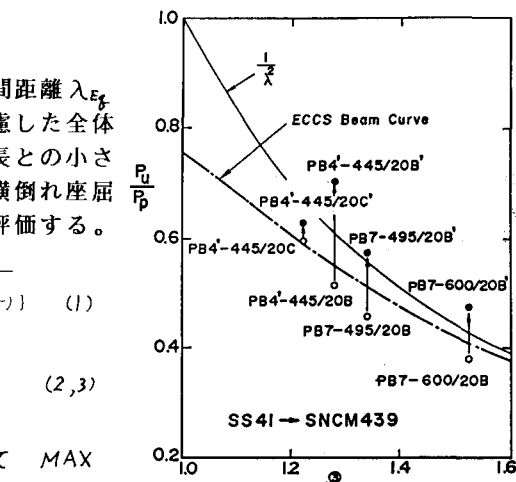


Fig. 4 Influence of Strength of Cross Beams

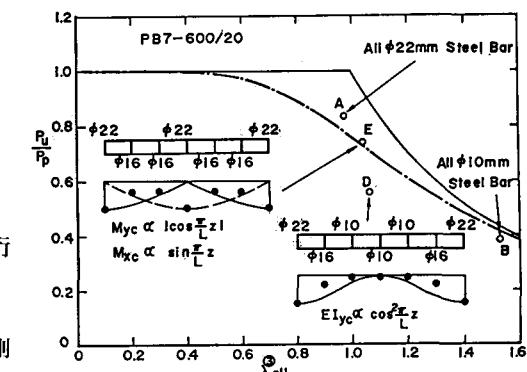


Fig. 5 Optimum Arrangement of Cross Beams

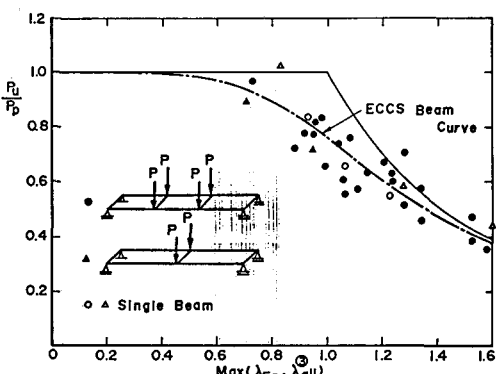


Fig. 7 Overall Buckling Strength